

(HUANJING KEXUE)

ENVIRONMENTAL SCIENCE

第37卷 第8期

Vol.37 No.8

2016

中国科学院生态环境研究中心 主办

科学出版社出版



採 施 静 享 (HUANJING KEXUE)

ENVIRONMENTAL SCIENCE

第37卷 第8期 2016年8月15日

目 次

在金兔、李云蜂、张大虎、张赤、熊素、熊果、新参州、王少英、常性则、何采为、程序灰、皮肿、马立花、星星生、另几(2847) 成规都不同大气颗粒物中无机水溶性离子污染特征	中国地区二次有机气溶胶的时空分布特征和来源分析
成都平原大气颗粒物中无机水溶性或子污染特征	程念亮,李云婷,张大伟,陈添,魏强,孙彤卉,王步英,富佳明,何乐为,程兵芬,皮帅,马立光,崔继宪,孟凡(2847) 抗战胜利70周年大阅兵期间石家庄大气细颗粒物在线来源解析 ····································
無円市を平一次持续奏極近世中气象条件与污染物型化容能分析。	
版用单层外产业业高版下、影响国家及理联风险、以黄阳印为网 郭奎思 于爽、整水港、井安、有著雪(2907)农田士璇随用另列郑望凤肥后气态成(NH、和N、O)减排效果比较(以及玉米季为例 结合、类糖螺、浆芡、精铯(2906)音尚南部高阳医阳等则均生长产高寒草甸土蛋仓(、CH、和N、O)通用的观测 疾来,	嘉兴市春李一次持续雾霾过程中气象条件与污染物变化特征分析
三峡库化介流域土地利用指持空化及其氮素输出控制效应,以三岭聚外流域为例	泉州市大气降尘中金属元素污染特征及来源解析 ····································
三峡库化介流域土地利用指持空化及其氮素输出控制效应,以三岭聚外流域为例	桂林市酸雨变化特征及来源分析 ····································
三峡库区小流域土地利用时空格局的响应研究,以洱海土部流域为例	青海南部高原积雪期与生长季高寒草甸土壤 CO_2 、 CH_4 和 N_2O 通量的观测 ······················· 吴建国,周巧富(2914) 三峡库区香溪河秋末至中冬 CO_2 和 CH_4 分压特征分析 ············ 张军伟,雷丹,肖尚斌,张成,穆晓辉,刘佳,李迎晨(2924)
人两河流水原对土地利用印空格向的响应的影响。以管質的另侧 長睫形 罗光宫 操滴 走雨春,汪福,邓阜(2947)农田银流人工深湿地貌格局暂态存储特征分析 李如忠、黄青飞、钱鸡、殿晓蟆、韦林(2964)农田排水海梁水体、底池中溶质级分布转征试验研究 李忠、黄青飞、钱鸡、殿晓蟆、韦林(2964)农田排水海梁水体、底池中溶质级分布转征试验研究 李惠·曹夷、克利夏、江长胜、黄疸,茂迭纬、静庆菊(2973)重金属在河口区潮汐界面与盐度界面响应规律研究 刘参、郑丙萍、刘孝、马迎鲜、林西埭、王骏、夏阳(2989)瑶圳地区全氟辛烷酶酸的环境多介质迁移和归趋行为研究 杜晓中、平龙,罗骥、黑岩冰(3001)北运河水体中安光溶解性有机物空间分布特征及来源分析 卫亚宁 泽佳钊、宋玉梅、郭畴焦、王毅(3007)北运河水体中安光溶解性有机物空间分布特征及全服分价 卫亚宁 泽佳钊、宋玉梅、郭畴焦、王毅(3007)北运河水体中安光溶解性有机物空间分布特征及来源分析 原水纳,纳玮璇、虎村正、王晚惠(3007)北运河水体中安光溶解性有机物空间分布特征及全流设析 原是 35年,所来,纳,纳玮璇、虎村正、王晚惠(3017)昌邑族海湿地沉积物的放射性核索水平与环境指示意义 王启栋、宋金则、李字刚、袁华茂、寿宁、曹嘉(3026)南部对阿神洪租埠地下水中酿酸酯的污染现状与分布特征 嘉虑 赵兴龙、刘塽、耿芳等、养治粤(3041)南季不同土地利用下表层岩溶泉中脂肪酸米源分析 张娟,外玉川、湖正兰、桑华、成哥、采沙集、《3042)对季不同土地利用下表层岩溶泉中脂肪酸米源分析 张娟,外玉川、湖正兰、桑华、成哥、美华美(3049)之后,张田以版及应器处理水中胸瘤的研究 下。 宋朝,外王川、湖正兰、桑季、成哥、美华、美 3049)之后,第6115 覆膜或性 人工器地棉石及或和木石、新维,新,张河沙、远疆,海、平、罗、大、河、海、等、东、海、海、海、海、海、海、海、海、海、海、海、海、海、海、海、海、海	气候变化对于桥水库总磷与溶解氧的潜在影响分析 ····································
重金属在河口区潮汐界面与盐度界面响应规律研究	一人湖冲流水面双土地利用时交格局的响应研究,以准强化部流或为物。 坝须 庞 滟 储略 开 胡小豆 补利 饒力强(2947)
重金属在河口区潮汐界面与盐度界面响应规律研究	库湾宫养盐循环对三峡库区宫养盐输运的影响:以阜室河为例 土
深川地区全业子院顺阪的外现多分质止移和归起行为明党 枯林湾麦层沉积物中有机氯依药的分布特征及来源分析	农田排水沟渠水体-底泥甲溶灰氮分布特征试验研究····································
拓林湾表层沉积物中有机氯农药的分布特征及生态风险评价 比运河水体中荧光溶解性有机物空间分布特征及来源分析	重金属在河口区潮汐界面与盐度界面响应规律研究
昌邑滨海湿地沉积物的放射性核素水平与环境指示意义	柘林湾表层沉积物中有机氯农药的分布特征及生态风险评价 卫亚宁,潘佳钊,宋玉梅,郭鹏然,王毅(3007)
乙n 系 LDHs 覆膜或性人工湿地沸石基质除磷机制	昌邑滨海湿地沉积物的放射性核素水平与环境指示意义 ············ 王启栋,宋金明,李学刚,袁华茂,李宁,曹磊(3026) 甾醇对南山老龙洞地下河娄便污染的指示 ············· 廖杲 孙玉川 王尊波 梁作兵 张远瞩(3034)
Ce**与Cu**协同强化分顺体条氧化苯酚的效能与机制研究	滹沱河冲洪积扇地下水中酞酸酯的污染现状与分布特征 ····································
P/生物炭电极反应器处理水中腐殖酸的研究	Ce ² "与Cu ² "协同强化分顿体系氧化苯酚的效能与机制研究 ············ 张剑桥, 迟惠中, 宋阳, 岁从伟, 江进, 马车(3067)
单偶氮染料 AY17 的光催化降解动力学及机制 阳海,魏宏庆,胡乐天,胡倩,阳立平,刘华杰,易翔,易兵(3086)硫自养反硝化处理高含氟光伏废水可行性	Pt/生物炭电极反应器处理水中腐殖酸的研究 ····································
膜曝气生物膜反应器生物强化处理阿特拉津废水运行性能	单偶氮染料 AY17 的光催化降解动力学及机制 阳海,魏宏庆,胡乐天,胡倩,阳立平,刘华杰,易翔,易兵(3086) 硫自养反硝化处理高含氟光伏废水可行性 马航,朱强,朱亮,李祥,黄勇,魏凡凯,杨朋兵(3094)
超低溶解氧条件下的 EBPR 系统除磷性能	- 腹曝气-生物膜反应器生物强化外理阿特拉津废水运行性能 刘素 干长富 张静 陈晓轩 张磊 杨景亮(3101)
超低溶解氧条件下的 EBPR 系统除磷性能	活性污泥厌氧 Fe(Ⅲ)还原氨氧化现象初探 ····································
里子垃圾拆解区土壤重金属空间异质性及分布特征	超低溶解氧条件 h 的 EBPR 系统除磷性能 ····································
流动搅动法研究针铁矿对亚砷酸盐的吸附特征 —— 李鑫,杨军,饶伟,王代长,杜光辉,化党领,刘世亮,刘红思(3169)聚羟基铝柱撑硅藻土的制备及其对水溶液中Cu²+、Zn²+的吸附特性 —— 朱健,雷明婧,王平,张伟丽,陈仰(3177)新型污泥基吸附材料制备及其氨氮去除性能评价 —— 王文东,刘荟,张银婷,杨生炯(3186)纳米复合水凝胶的制备及其对重金属离子的吸附 —— 朱倩,李正魁,张一品,韩华杨,王浩(3192)鼠李糖脂与β-环糊精复合提取预测污染土壤中 PAHs 的生物有效性 —— 张亚楠,杨兴伦,卞永荣,谷成刚,王芳,王代长,蒋新(3201)不同磷水平下丛枝菌根真菌对纳米氧化锌生物效应的影响 —— 景新新,苏志忠,邢红思,王发园,石兆勇,刘雪琴(3208)中美水生生物基准受试物种敏感性差异研究 —— 王晓南,闫振广,余若祯,王婉华,陈丽红,刘征涛(3216)贫营养和痕量抗生素对质粒抗生素抗性适应度代价的影响 —— 林文芳,陈胜,万堃,王春明,林惠荣,于鑫(3224)不同氮水平下间作对玉米土壤硝化势和氨氧化微生物数量的影响 —— 吕玉,周龙,龙光强,汤利(3229)	田东省典型金矿区土壤里金属空间特征分析与环境风险评估
聚羟基铝柱撑硅藻土的制备及其对水溶液中Cu²+、Zn²+的吸附特性	我国 18 种不同理化性质的土壤对硒酸盐的吸附解吸作用研究 ····································
	聚羟基铝柱撑硅藻土的制各及甘对水溶液由 C_0^{2+} Z_0^{2+} 的吸附特性
	纳米复合水凝胶的制备及其对重金属离子的吸附 ····································
贫营养和粮量抗生素对质粒抗生素抗性适应度代价的影响 ··············· 林文芳, 陈胜, 万堃, 王春明, 林惠荣, 于鑫(3224) 不同氮水平下间作对玉米土壤硝化势和氨氧化微生物数量的影响 ················ 吕玉, 周龙, 龙光强, 汤利(3229)	不同磷水平下丛枝菌根真菌对纳米氧化锌生物效应的影响 ········· 景新新,苏志忠,邢红恩,王发园,石兆勇,刘雪琴(3201)
不问氮水平下间作对玉米土壤硝化势和氨氧化微生物数量的影响 吕玉,周龙,龙光强,汤利(3229)《环境科学》征订启事(3025) 《环境科学》征稿简则(3057) 信息(3072,3085,3143)	中美水生生物基准受试物种敏感性差异研究 ····································
	不同氮水平下间作对玉米土壤硝化势和氨氧化微生物数量的影响 吕玉,周龙,龙光强,汤利(3229)《环境科学》征订启事(3025) 《环境科学》征稿简则(3057) 信息(3072,3085,3143)

昌邑滨海湿地沉积物的放射性核素水平与环境指示意义

王启栋1,2,宋金明1*,李学刚1,袁华茂1,李宁1,曹磊1

(1. 中国科学院海洋研究所生态与环境科学重点实验室,青岛 266071; 2. 中国科学院大学,北京 100049)

摘要:利用伽马谱仪测定了昌邑滨海湿地表层沉积物以及沉积物岩芯中放射性核素含量,根据放射性核素的分布,探讨了其 对物质来源、人类活动以及其他沉积环境演变事件的指示作用,并估算了研究区域的沉积速率. 结果表明, 表层沉积物中自 然放射性核素²³⁸U、²³²Th、²²⁶Ra和⁴⁰K的平均含量分别为(54.4±11.7)、(57.9±9.7)、(28.6±4.3)和(542±21)Bq·kg⁻¹,表层 沉积物放射性水平的区域差异反映了物质来源的不同以及人类活动对沉积物特性的影响,根据岩芯中过剩²¹⁰Pb的分布、计算 出近百年来沉积环境稳定的高沼区沉积速率为 0.23 cm·a⁻¹. 在沉积物岩芯中,²³⁸ U、²³² Th和²²⁶ Ra具有较高的变异系数,根据 ²³⁸U和²²⁶Ra及其比值的垂直分布,沉积过程可被分为4个阶段:缓慢沉积阶段,受黄河河道迁徙影响下的沉积环境剧烈变化阶 段,黄河归流后的稳定阶段,以及在人类活动的影响下的退化、增长交替阶段. 放射性核素的变化反映了滨海湿地沉积环境 的演变过程,具有重要的环境指示意义.

关键词:放射性核素; 沉积速率; 环境演变; 滨海湿地; 昌邑

中图分类号: X145; X55 文献标识码: A 文章编号: 0250-3301(2016)08-3026-08 DOI: 10.13227/j. hjkx. 2016.08.025

Distribution and Environmental Significances of Radionuclides in the Sediment of the Changvi Coastal Wetland

WANG Qi-dong^{1,2}, SONG Jin-ming^{1*}, LI Xue-gang¹, YUAN Hua-mao¹, LI Ning¹, CAO Lei¹

(1. Key Laboratory of Marine Ecology and Environmental Sciences, Institute of Oceanography, Chinese Academy of Sciences, Qingdao 266071, China; 2. University of Chinese Academy of Sciences, Beijing 100049, China)

Abstract: The radionuclides contents in the surface sediments and sediment cores were determined by gamma spectrometry method. The distribution of radionuclides and its indication to material sources, human activities and other sedimentary environmental evolution events were discussed and the sedimentation rate was estimated. The results showed that the average activity concentrations of 238 U, ²³²Th, ²²⁶Ra and ⁴⁰K in the surface sediment were (54.4 ± 11.7), (57.9 ± 9.7), (28.6 ± 4.3) and (542 ± 21) Bq·kg⁻¹, respectively. Regional differences of radioactivity level reflected the material sources and influences of human activities on the sediment characteristics. According to the vertical distribution of excess 210 Pb, the sedimentation rate of high tidal areas was estimated at 0.23 cm·a⁻¹. In the sediment core, the variable coefficients of ²³⁸U, ²³²Th and ²²⁶Ra contents were high. According to the vertical profiles of ²³⁸U, ²²⁶Ra and ²³⁸U/²²⁶Ra ratio, the process of sedimentation could be divided into four periods: period of slow deposition, period of dramatic change in sedimentary environment caused by great migration of the Yellow River channels, period of stable deposition after the Yellow River ran into one single channel, and period of alternate degradation and growth under the influence of human activities. The vertical variation of radionuclides in the sediment core could serve as an effective environmental indicator since it could record the environmental evolution processes of the coastal wetland.

Key words: radionuclides; sedimentation rate; environmental evolutions; coastal wetlands; Changyi

放射性核素广泛存在于空气、水、土壤和沉积 物等地球环境中[1,2]. 放射性核素的研究受到人们 的关注,不仅由于其可能造成的放射性污染威胁人 类健康,还由于其作为地球化学指标在海洋学及地 质学领域的广泛应用[3~6]. 例如,具有漫长半衰期 的²³⁸U、²³²Th、²²⁶Ra和⁴⁰K等核素在环境中的含量水平 主要取决于地质条件及土壤或沉积物的形成状 $\mathcal{R}^{[7]}$,可以揭示物质的来源; 半衰期为 22.3 年的 ²¹⁰Pb,可用于百年尺度的沉积物岩芯的计年和沉积 速率的研究. 此外,人类核试验还产生了137Cs等人 工核素,也被应用于沉积速率及土壤侵蚀等的研究. 因此,沉积物岩芯中放射性核素的分布记录着沉积

过程变化的历史,并为重大历史事件提供时标,具有 重要的环境指示作用.

滨海湿地地处海陆相互作用最为活跃的潮间带 区域,是陆源物质和海源物质堆积的重要场所,其环 境受到海洋及陆地双重作用以及人类活动的影响, 是地球上最为复杂的生态系统之一. 随着全球气候 变化的加剧以及人类社会的发展,滨海湿地的环境

收稿日期: 2015-11-16; 修订日期: 2016-03-21

基金项目: 国家基金委-山东省联合基金项目(U1406403); 青岛国

家海洋实验室"鳌山人力"卓越科学家专项项目 作者简介:王启栋(1990~),男,博士研究生,主要研究方向为滨海 湿地生物地球化学过程和同位素地球化学, E-mail: tdxzwqd@ 126. com

通讯联系人, E-mail:jmsong@qdio.ac.cn

压力不断加大,其在全球可持续发展中扮演的角色也愈加重要. 然而我国滨海湿地的研究多集中于景观生态学、生物多样性、重金属污染以及生态功能评价等方面^[8~12],对滨海湿地地质环境演变的研究十分缺乏,而搞清楚滨海湿地的演化历史、规律和驱动机制恰恰是开发治理湿地生态环境、确保其可持续发展的前提^[13].

莱州湾南岸是中国滨海湿地分布最集中的海岸段之一^[14].近年来,卤水开采、盐田、水产养殖等经济开发活动使该区域自然湿地受到严重改造,许多学者已从不同的角度对莱州湾南岸滨海湿地的变化展开了研究,如景观格局的变化^[15]、生物多样性特征^[10]、海水入侵和水环境变化^[16,17]以及湿地退化的现状和原因^[14,18]等,但尚未有学者从地学的角度对该区域的沉积环境演变进行研究.本文以莱州湾南岸最典型的昌邑柽柳林滨海湿地为研究对象,首次利用放射性核素的方法、从沉积物的角度探究了滨海湿地的环境演变过程并且探讨了放射性核素的环境指示意义.

1 材料与方法

1.1 研究区域及样品采集

研究区域位于莱州湾南岸、山东省昌邑市沿海的昌邑柽柳林滨海湿地.为保护以柽柳为主要植被的滨海湿地生态系统,2007年该区域获批成立山东省首个国家级海洋生态特别保护区.保护区中心坐

标为 37°06′15″N,119°22′00″E,总面积 29.3 km²,而 天然柽柳林面积高达 20.7 km²[19]. 莱州湾潮汐为 正规半日潮,并受风暴潮影响. 为保护盐田等产业, 2000 年保护区内沿海修建了一条人工堤坝,使得高 沼区与潮汐隔绝,而低沼区淹水更甚.

2012年6月,在保护区内从陆地向海洋的方向设置了3条断面共计19个站位采集表层沉积物样品(如图1).在每个站位,布置了一个1 m×1 m 的样方,在样方内随机采集3个0~10 cm 的表层样品,充分混合后于聚乙烯袋中密封保存.此外,选取3个站位A5、A8和A9采集沉积物岩芯样品.在每一个选取的站点挖掘土壤剖面,然后从表层开始按2 cm 间隔采集至1 m 深度左右(A9由于淹水采至60 cm 左右).采集完成后将所有的样品带回实验室进行测定.

1.2 样品的测定

在实验室内将样品烘干磨细,装入聚乙烯样品管中密封放置 3 周,以达到长期平衡,然后用美国Canberra 公司生产的 HPGe 伽马谱仪测量样品的放射性同位素的活度. 效率刻度用核工业北京地质研究院提供的标准源完成,标准源粒径和密度与样品接近. 测量每种核素所用的伽马射线特征峰分别为: ²³⁸U,63.2 keV 和 92.6 keV; ²³²Th,338.7 keV、911.2 keV 和 968.8 keV; ²²⁶Ra,295.2 keV、351.9 keV 和 609.3 keV; ⁴⁰K,1 460.5 keV; ²¹⁰Pb,46.5 keV; ¹³⁷Cs,661.6 keV. 峰面积采用全能峰面积法计算. 测量结

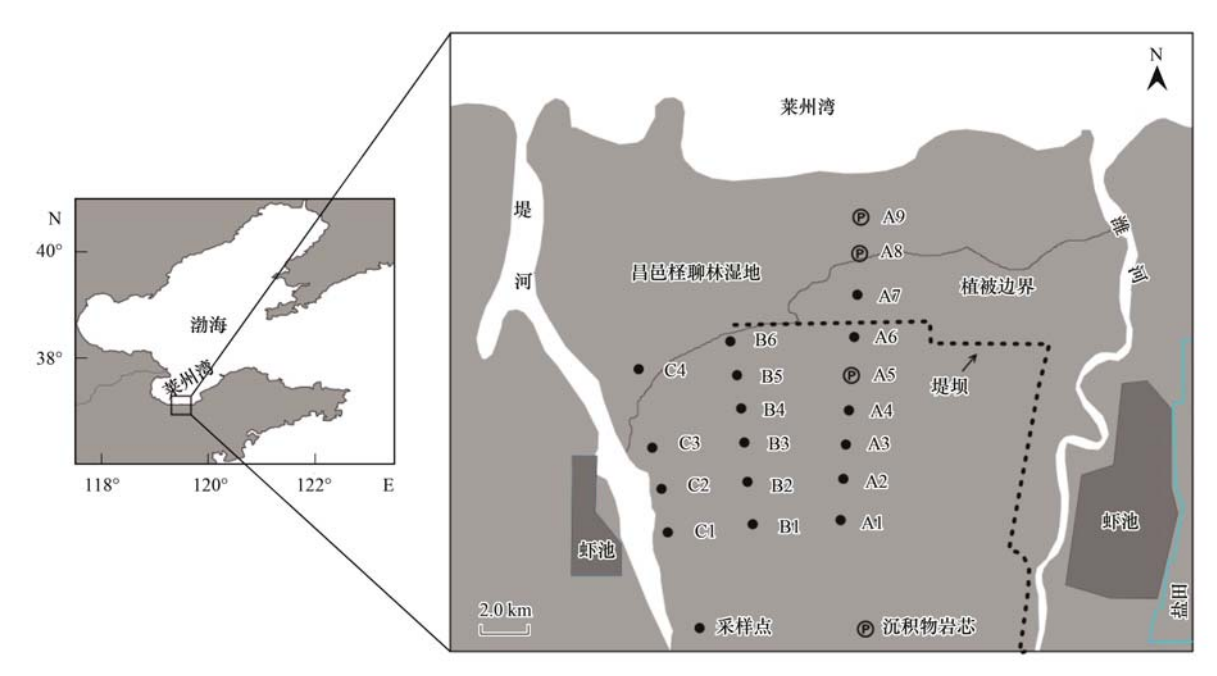


图 1 研究区域及采样站位示意

Fig. 1 Study area and sampling sites

果以活度表示,除以样品质量得到比活度.

2 结果与讨论

2.1 放射性核素²³⁸ U、²³² Th、²²⁶ Ra和⁴⁰ K的水平分布 昌邑柽柳林湿地表层沉积物中自然放射性核素 ²³⁸ U、²³² Th、²²⁶ Ra、⁴⁰ K的平均含量(算术平均值 ± 标 准差)分别为(54.4 ± 11.7)、(57.9 ± 9.7)、(28.6 ±4.3)、(542 ± 21) Bq·kg⁻¹. 表 1 列出了昌邑湿地 和其他区域的放射性核素含量的比较. 同国内其他 潮间带区域相比, 昌邑湿地的²³⁸ U和²³² Th含量处于较高水平, 而²²⁶ Ra和⁴⁰ K含量则相对较低. 昌邑湿地和黄河口湿地沉积物母质都是近代黄河冲积物, 因此放射性核素含量十分接近. 沉积环境中自然放射性核素的水平主要取决于不同岩性区域岩石的种类和地质组成^[20,21], 总体来看中国土壤的放射性核素含量平均值(尤其是²³² Th和⁴⁰ K) 要高于世界平均值, 并且远高于地中海区域, 这体现了不同陆地的土壤母质的岩性差异.

表 1 昌邑滨海湿地表层沉积物放射性核素含量同其他区域比较

Table 1 Comparison of radionuclide content between Changyi coastal wetland and other areas

研究区域	放射性核素/Bq·kg ⁻¹					
妍	²³⁸ U	²³² Th	²²⁶ Ra	⁴⁰ K	文献	
昌邑柽柳滨海湿地	54. 4	57. 9	28. 6	542	本研究	
黄河口湿地	60. 5	57.7	28. 0	687. 3	[22]	
黄河口水下三角洲	37. 4	41.4	37. 3	_	[23]	
胶州湾潮间带	42. 5	37. 4	26. 6	655	[24]	
厦门潮间带	40. 2	69. 3	32. 4	692	[6]	
兴化湾西岸潮间带	45. 4	61. 2	31. 4	804	[25]	
土耳其爱琴海沿岸	12. 46	10. 75	10. 41	422. 6	[7]	
希腊 Patras 湾近岸	21.8	24. 5	22. 6	497	[26]	
埃及红海海滩	25. 3	31. 4	24. 7	427. 5	[27]	
中国平均	38. 5	54. 6	37. 6	584	[28]	
世界平均	35	30	35	400	[29]	

昌邑湿地放射性核素含量的水平分布如图 2 所示. 4 种自然放射性核素中,²³⁸U的水平分布波动最大,⁴⁰K的水平变化最小,而²³²Th和²²⁶Ra则呈现出相类似的水平分布模式. 在不同的断面中,核素的分

布也存在较大差异. 在 A 断面中,²³⁸U的含量变化 剧烈,而²³²Th和²²⁶Ra也呈现出无明显规律的高低变 化;在 B 断面中,从 B1~B6,也即从陆地向海洋的 方向,²³⁸U、²³²Th和²²⁶Ra的含量均逐渐增加;而在 C

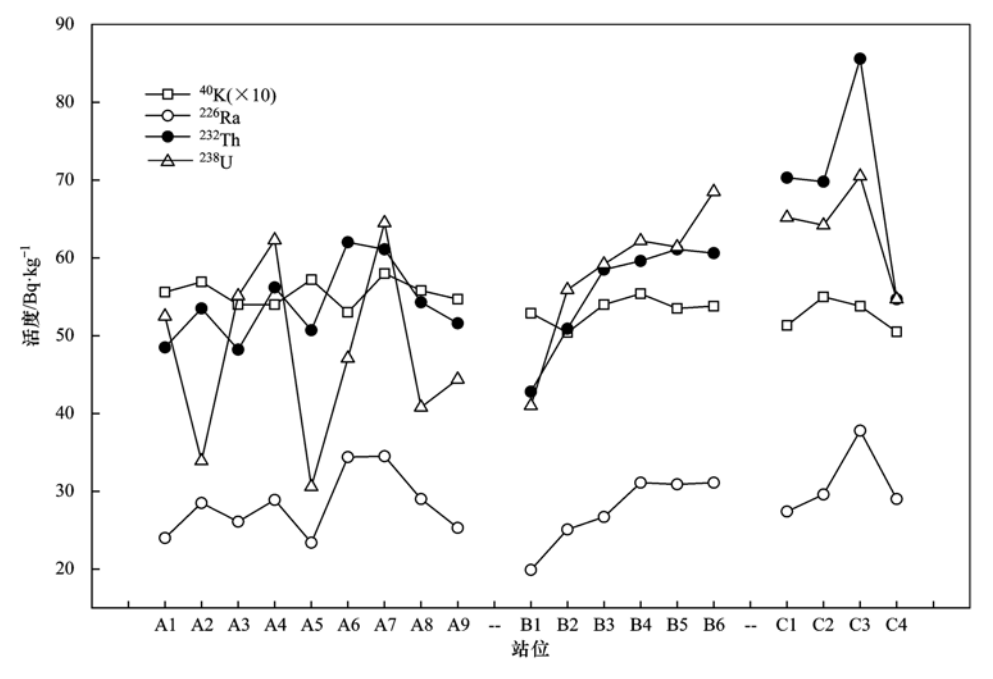


图 2 昌邑湿地表层沉积物中²³⁸ U、²³² Th、²²⁶ Ra、⁴⁰ K的水平分布

Fig. 2 Horizontal distributions of ²³⁸U, ²³²Th, ²²⁶Ra and ⁴⁰K in the surface sediment of Changyi wetland

断面中,²³⁸ U、²³² Th和²²⁶ Ra均在 C3 站位有极大值.不同核素之间的相对含量在不同断面之间也有较大差异.例如,B 断面中²³⁸ U含量高于²³² Th,C 断面则相反,而在 A 断面中二者的相对含量则交替变化.

沉积物中的自然放射性核素含量主要取决于形 成沉积物的母系岩石或者土壤,但沉积后会在多种 理化因子的影响下发生不同程度的迁出或富 集[30,31]. 人类活动所造成的环境改变以及物质输入 也会对放射性核素的含量水平产生显著的影响. 为 了便于比较,计算了当量 Ra 活度含量 Raeq [32] (Raeq $=A_{Ra}+1.43A_{Th}+0.077A_{K}$,式中, A_{Ra} 、 A_{Th} 、 A_{K} 分别 为²²⁶Ra、²³²Th、⁴⁰K的活度含量),如图 3 所示. 从中 可以看出,不同站位的放射性水平有明显差异. 总 的来看,C 断面的放射性核素平均含量高于 A 断面 和 B 断面. 而 C 断面靠近河流,这说明河流物质输 人是昌邑湿地沉积物中放射性核素的重要来源. 上 游河道输入的放射性含量较高的物质,如由于施加 磷肥而导致的高²²⁶Ra含量的耕地土壤、放射性核素 较高的矿业废弃物等,在河口滨海湿地堆积,从而提 升了湿地沉积物中放射性核素的含量水平. 而在 A 和 B 断面中,靠近人工堤坝的 A6、A7 及 B6 站位放 射性水平也相对较高. 这是由于修建堤坝所使用的 水泥等材料的放射性核素含量相对较高,这些站位 受建造施工的影响,表层沉积物的放射性水平得到 提升. 此外,在堤坝内侧很难受到潮水影响的区域, 还横纵交错的修建了许多道路和沟渠,离这些人为 改造区域较近的站位(如 A2、A4 等),核素水平相 对较高,而距离较远的站位(如 A1、A3、A5 等)核 素水平则相对较低. 因此, A 断面放射性核素含量 的水平分布呈现出高低值的交替变化. 可以看出, 人类活动对湿地表层沉积物的放射性核素含量水平

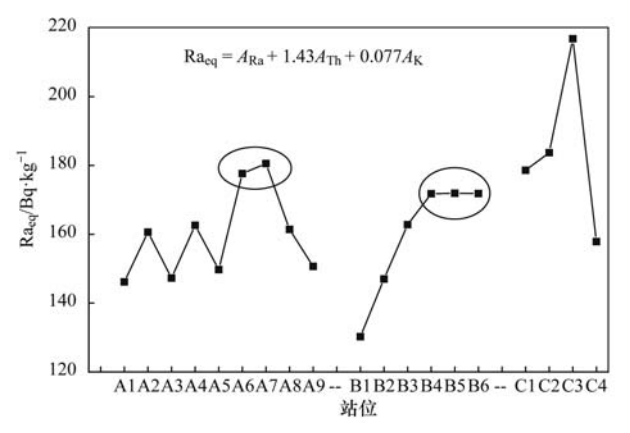


图 3 昌邑湿地表层沉积物中 Raeq 的水平分布

Fig. 3 Horizontal distributions of Ra_{eq} in the surface sediment of Changyi wetland

有明显的改变. 反过来说, 表层沉积物中的放射性核素含量的变化可以在一定程度上反映人类活动对湿地环境所产生的影响大小.

2.2 ²¹⁰Pb和¹³⁷Cs的垂直分布与沉积速率

天然放射性核素²¹⁰Pb和人工核素¹³⁷Cs常被用于 近海海洋及潮间带沉积物测年的研究. 沉积物中总 的²¹⁰Pb(²¹⁰Pb_{tot})除了与母体²²⁶Ra保持平衡的部分 (210 Pb_{sup})外,还有一部分来源于大气沉降,该部分 ²¹⁰Pb被称作过剩²¹⁰Pb(²¹⁰Pb_{ex}). 利用²¹⁰Pb定年的依 据是沉积物中的²¹⁰Pb_{ex}随着深度的增加呈指数衰 减. 而人工核素¹³⁷Cs主要是由人类核试验释放到环 境中,在沉积物中的最大检出深度对应的时间为 1954年,而在核试验最为密集的1963年所对应的 沉积物深度,137 Cs的含量会出现峰值:此外 1986 年 的切尔诺贝利核事故也会在很多区域的沉积物中产 生137 Cs含量的峰值. 以这些峰值出现的深度及其对 应的时间为标尺,即能计算出一段时期内的平均沉 积速率. 在本研究测定了沉积物岩芯 A5 中210 Pb垂 直分布(图4)以及A5、A8和A9中137Cs的垂直分布 (图5),以便对昌邑柽柳林湿地的沉积速率及沉积 过程进行分析.

站点 A5 处于昌邑湿地的高沼区,近年来又受 到了人工堤坝的保护,因此沉积环境相对稳定. A5 沉积物岩芯中,²¹⁰Pb_{tot}、²¹⁰Pb_{sup}以及²¹⁰Pb_{ex}的垂直分 布如图 4 所示. 从图 4(b) 可以看出,随着深度增加 ²¹⁰Pb_{cx}基本呈指数衰减模式,尤其在 25 cm 以浅,表 明该阶段沉积速率稳定,因此可以根据恒定初始浓 度(CIC)的²¹⁰Pb计年模式,计算出 A5 岩芯 25 cm 以 浅的沉积速率为 0.23 cm·a⁻¹. A5 岩芯中¹³⁷Cs的分 布如图 5 所示,最大检出深度为 21 cm,而峰值出现 在表层 3 cm 处. 很显然,3 cm 处的¹³⁷Cs峰值既不能 对应 1963 年,也不可能是 1986 年,无法用于沉积速 率的计算;而根据最大检出深度对应的1954年计 算出的沉积速率为 0.37 cm·a⁻¹, 明显高于²¹⁰Pb的 计年结果. 由于210 Pb的垂直分布更有规律,因此 0.23 cm·a⁻¹的沉积速率更接近真实值. 137 Cs的分布 可能受到了其他过程的干扰,例如表层较高的有机 碳含量可能对 Cs 产生了富集,从而导致137 Cs的峰值 出现在浅层,而深层的137 Cs 则可能发生了向下的迁 移[33,34]. A8 和 A9 站位受到潮汐、极端气候以及人 为活动等的影响, 沉积过程较为复杂, 在 A8 岩芯 中,在19 cm 深度才开始检测到有137 Cs的存在,而峰 值出现在 29 cm,最大检出深度更是深达 51 cm,这 说明 A8 岩芯的沉积过程受到了严重的干扰. 在采

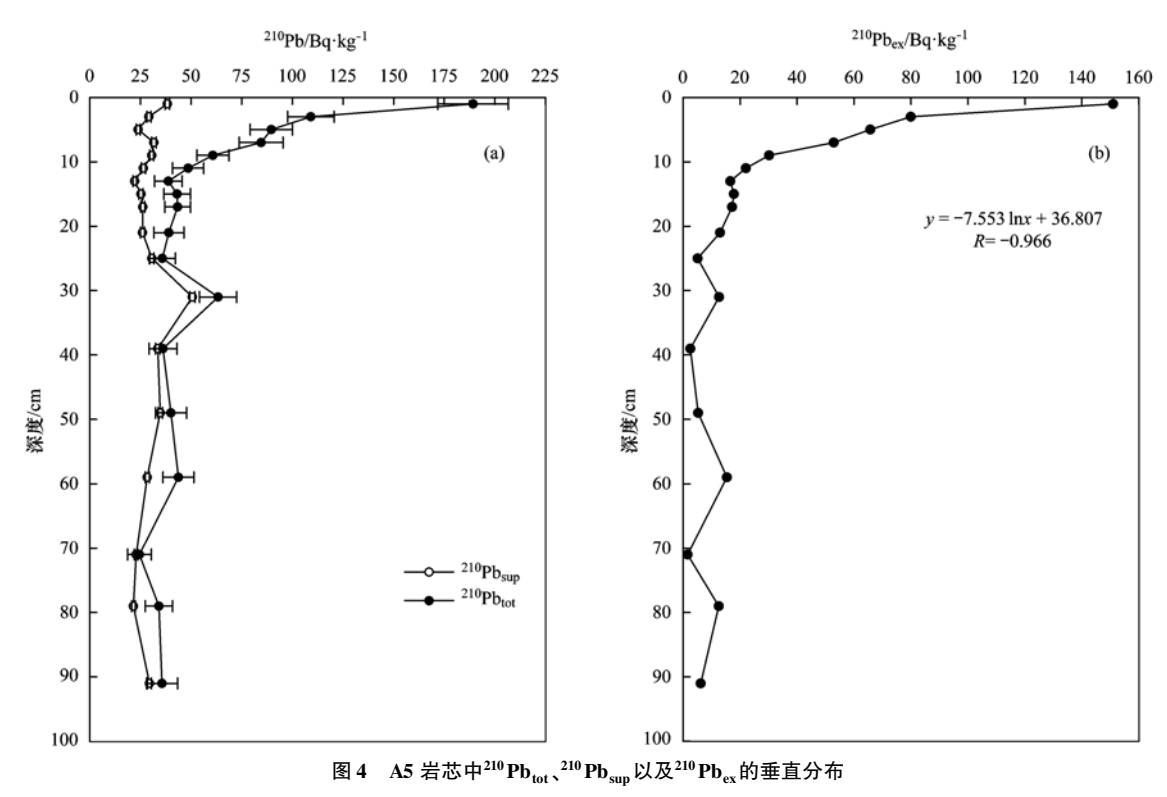


Fig. 4 Vertical distribution of $^{210} Pb_{tot}$, $^{210} Pb_{sup}$ and $^{210} Pb_{ex}$ in the sediment core A5

样过程中发现, A8 岩芯在 20 cm 深度左右有大量的 植物碎屑存在,而且沉积物有机碳含量也在此深度 出现极大值,再结合 A8 十分接近植被覆盖区域的 地理位置,笔者推断该站位所处的区域曾经发生泥 沙对植被的掩埋,而这种掩埋极有可能是由风暴潮 等极端天气条件造成的. A9 岩芯中, 137 Cs 在 5 cm 深度开始检测出,并在19 cm 出现最大值, A9 位于 光滩,受不规则半日潮影响每天被淹没两次. 由于 退潮时海水流速减缓,潮水携带的颗粒物质会在此 处堆积,所以 A9 站位表层沉积物会得到不断的更 新,这是表层没有检测到¹³⁷Cs存在的重要原因之一. 此外,盐度的升高会增加沉积物中¹³⁷Cs的解析^[3],而 且大量的 Mg²⁺、Na⁺等阳离子也会置换出结合在颗 粒物表面的 Cs + . 使 137 Cs的迁移性增强 [35] . 因此 . 位 于光滩的低沼区沉积物中,水动力对137Cs分布的影 响远大于大气沉降. 总的来看, A8 和 A9 的沉积过 程受到了不同程度的干扰,难以通过放射性核素 ¹³⁷Cs的分布计算沉积速率.

2.3 放射性核素²³⁸U、²³²Th、²²⁶Ra和⁴⁰K的垂直分布及环境指示意义

由于不同区域的土壤、岩石及沉积物等物质具 有不同的放射性核素含量,因而沉积物岩芯中的放 射性核素的分布可以指示沉积过程中的物质来源. 此外,有研究认为自然核素在土壤剖面中的变化可

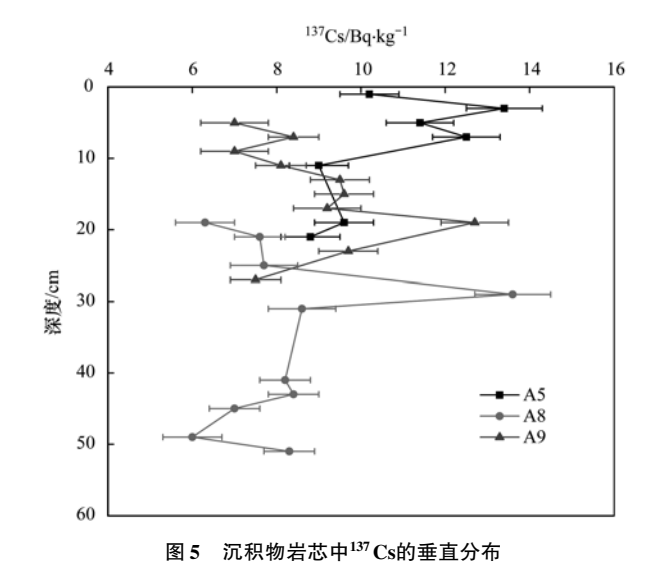


Fig. 5 Vertical profiles of ¹³⁷Cs in the sediment core

以反映土壤中发生的变化,而且还可以通过测量核素的活度来估计土壤随深度的异质性[36].为此,本研究测定了可以准确计年的 A5 岩芯中的放射性核素含量.表2列出了4种核素的统计数据,可以看出²³⁸ U、²³² Th和²²⁶ Ra这3种核素的含量变化较大,极大值远高于平均值,而⁴⁰ K含量的垂直变化则相对较小. ⁴⁰ K是唯一可用伽马谱仪测量的天然存在的不成系长寿命核素,其含量随深度变化不大则符合其在沉积物岩芯中的典型分布特征,而²³² Th的垂直分布

与²³⁸U基本相似,因此笔者以垂直分布具有明显变化的同系核素²³⁸U和²²⁶Ra为例,探讨滨海湿地沉积物岩芯中放射性核素含量变化的环境指示意义.

表 2 A5 岩芯中的放射性核素含量统计

Table 2 Statistical data of radionuclide content

		1.		
ın	the	sediment	core	A5

核素		变异系数			
似系	最大值	最小值	算术平均值	标准差	/%
²³⁸ U	104. 5	48.6	72. 6	13. 5	18. 6
232 Th	97. 1	47.6	61.9	10. 5	17.0
$^{226}\mathrm{Ra}$	53. 1	21.6	32. 0	7. 7	24. 1
⁴⁰ K	623	509	570	26	4. 6

²³⁸ U、²²⁶ Ra及其比值的垂直分布如图 6 所示. 总体来看,²³⁸ U、²²⁶ Ra的垂直分布由深层至浅层分为 4个阶段(图 6 中由 3 条虚线分隔开). 第一个阶段,²³⁸ U、²²⁶ Ra的含量缓慢增加,而²³⁸ U/²²⁶ Ra却逐渐减小. ²³⁸ U和²²⁶ Ra主要来自于陆源物质的输入,但²²⁸ U的迁移性主要受氧化还原环境的影响^[37],而作为碱土金属,²²⁶ Ra的吸附与解吸则与离子强度密切相关,吸附在沉积物上的²²⁶ Ra极易被其他碱土金属阳离子置换^[38]. 尽管盐度的增大也会导致²³⁸ U的解吸增强^[39],但是离子强度的增强会导致²²⁶ Ra更大程度的流失^[40,41],因此海水入侵应该会导致²³⁸ U/²²⁶ Ra的升高. 所以这一阶段²³⁸ U、²²⁶ Ra及²³⁸ U/²²⁶ Ra的变化特征表明,陆源物质在逐渐堆积,滨海湿地缓慢向海

延伸,从而使这一区域受潮汐的影响减弱. 第二阶 段,²³⁸U、²²⁶Ra的含量及其比值剧烈变化,反映了物 质来源以及沉积环境的剧烈改变. 由上文计年结果 可知,该阶段处于1850年左右. 1855年,黄河在河 南铜瓦厢决口改道,之后黄水北徙夺大清河入渤海, 结束了长达700多年的夺淮水入黄海的局面,并且 使北方成为大片漫流区,整个渤海南部沿岸受黄河 冲淤影响严重[42,43]. 黄河冲淤使滨海湿地变成大面 积泥滩,严重破坏了沿海地区的生态环境,给近岸区 域的沉积环境带来剧烈的变化. 此后的数十年间, 黄河下游不断发生决溢,使现行河口三角洲及周围 大片区域受灾不断. 昌邑湿地沉积物岩芯中这一阶 段²³⁸U、²²⁶Ra含量及其比值的剧烈变化反映了此次 重大历史事件对滨海湿地沉积环境的影响. 此阶段 黄河泥沙快速淤积,沉积速率应该较高,因此图6中 所标注的1900年以前的年份应该更晚. 而上文中 提到,210 Pb的分布在25 cm 以前分布十分规律,而在 25 cm 以下波动较大,这与此处的结论相一致. 第三 阶段对应 1900 年以后,改道后的黄河逐渐归流入 股,位于现行入海口南部的莱州湾沿岸受其影响减 弱,沉积环境趋向于稳定,因此放射性核素的含量分 布也趋于一致,没有大的变化. 第四阶段,从十几厘 米左右的深度至表层,放射性核素的含量又经历了 一次先增大后减小又增大的变化. 这段深度对应的

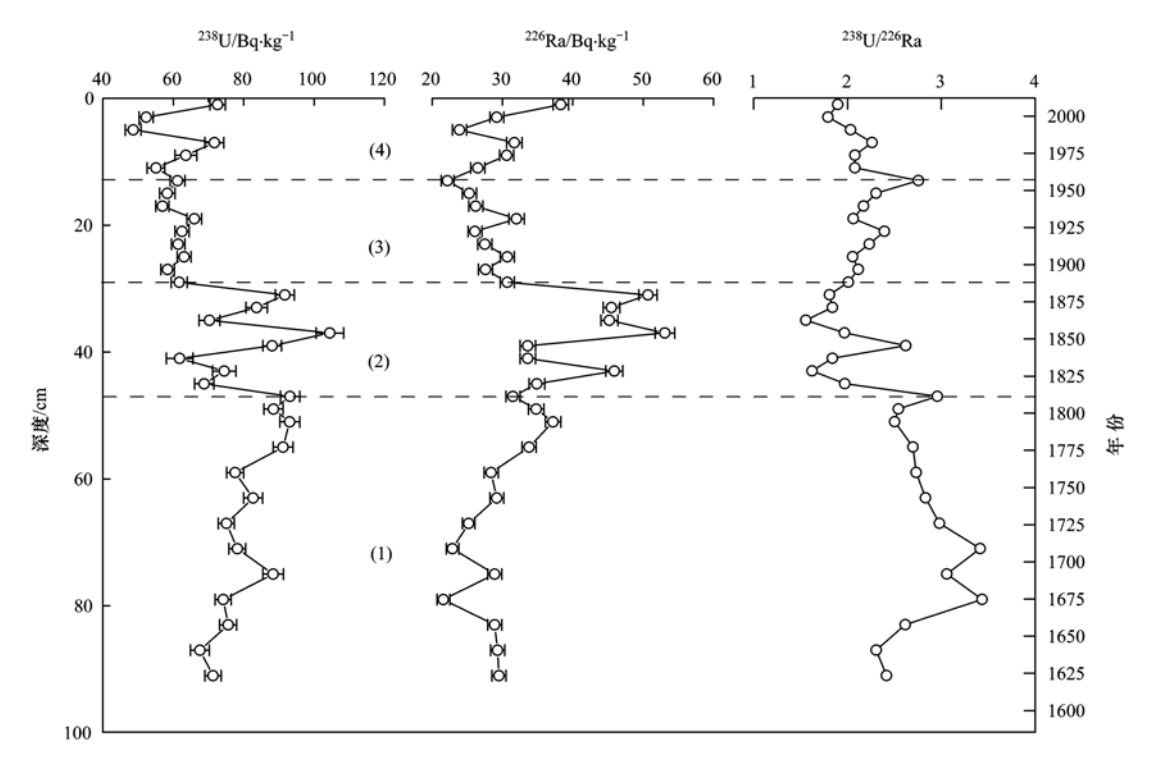


图 6 沉积物岩芯 A5 中²³⁸ U、²²⁶ Ra及其比值²³⁸ U/²²⁶ Ra的垂直分布

Fig. 6 Vertical profiles of ²³⁸U, ²²⁶Ra and ²³⁸U/²²⁶Ra ratio in sediment core A5

时期为建国后至现在. 在建国初的二三十年间,随 着社会经济的发展和人类活动增强,排放到环境中 的放射性物质的含量也有所提升,例如采矿、农业 施肥等都会增加环境的放射性载荷,在沉积物中就 表现为几种自然放射性核素含量的缓慢升高. 然 而,自20世纪60年代以来,莱州湾南岸掀起了海洋 开发的热潮,对海洋资源大规模的开发逐渐导致滨 海湿地的退化[10]. 至 20 世纪 70 年代,莱州湾南岸 多条人海河流的上游兴建水库,再加上1977年以来 研究区域连续20年的干旱,输入到滨海湿地的水量 严重不足,导致莱州湾南岸滨海湿地严重退化[8], 咸海水入侵加剧. 而在较高的盐度和离子强度下, 放射性核素的解吸加强,因此海水的侵蚀会导致沉 积物中放射性核素含量的降低[39~41]. 自 20 世纪 90 年代以来,虽然自然湿地仍在不断萎缩,但是人工湿 地的面积增长迅速,与此同时,环境污染也进一步加 剧;至21世纪,随着人们生态环境保护意识的增 强,湿地生态逐渐得到恢复,昌邑柽柳林湿地更是建 成国家级海洋生态保护区. 人工湿地的增长,环境 污染的加剧,以及湿地生态环境的逐渐稳定使海水 侵蚀减弱等因素使得沉积物中放射性物质的含量又 逐渐提高. 此外,在三、四阶段,238 U/226 Ra整体上变 化不大,说明了该阶段潮汐影响的变化不大,很可能 意味着这一时期海岸线并没有较大程度的后退或者 延伸.

总的来看,沉积物岩芯中的放射性核素含量的变化与沉积环境的变化相一致,可以在一定程度上反映重大的历史沉积事件,物质来源的改变以及在人类活动的影响下滨海湿地生态环境的演变,具有重要的环境指示意义.

3 结论

- (1) 昌邑柽柳林湿地表层沉积物 4 种核素²³⁸ U、²³² Th、²²⁶ Ra、⁴⁰ K的平均含量分别为(54.4±11.7)、(57.9±9.7)、(28.6±4.3)、(542±21) Bq·kg⁻¹,同国内其他潮间带相比,²³⁸ U、²³² Th的含量偏高而²²⁶ Ra、⁴⁰ K的含量偏低. 在湿地的不同区域,表层沉积物放射性水平差异显著,靠近河流堤坝、沟渠、道路的区域放射性水平明显偏高,反映了物质来源的差异以及人类活动对沉积物特性的影响.
- (2)在沉积物岩芯中,²¹⁰Pb_{ex}的垂直分布表明,湿地高沼区百年尺度内沉积环境稳定,沉积速率为0.23 cm·a⁻¹;而受到严重干扰的¹³⁷Cs分布则表明过渡区域及光滩的沉积过程则较为复杂.在高沼区

沉积物岩芯中,²³⁸U、²³²Th、²²⁶Ra和⁴⁰K的含量分别为48.6~104.5、47.6~97.1、21.6~53.1 和 509~623 Bq·kg⁻¹,其中²³⁸U、²³²Th、²²⁶Ra含量的变异系数较高.根据²³⁸U和²²⁶Ra及其比值的垂直分布,沉积过程可被分为4个阶段:缓慢沉积阶段,受黄河河道迁徙影响下的沉积环境剧烈变化阶段,黄河归流后的稳定阶段,以及在人类活动的影响下的退化、增长交替阶段.在不同的阶段,放射性核素含量的变化反映了重大的历史沉积事件,物质来源的改变以及人类活动等对滨海湿地沉积环境的影响,具有重要的环境指示意义.

参考文献:

- [1] Al-Trabulsy H A, Khater A E M, Habbani F I. Radioactivity levels and radiological hazard indices at the Saudi coastline of the Gulf of Aqaba[J]. Radiation Physics and Chemistry, 2011, 80 (3): 343-348.
- [2] Ramasamy V, Paramasivam K, Suresh G, et al. Role of sediment characteristics on natural radiation level of the Vaigai river sediment, Tamilnadu, India [J]. Journal of Environmental Radioactivity, 2014, 127: 64-74.
- [3] Gulin S B, Gulina L V, Sidorov I G, et al. ⁴⁰ K in the Black Sea:
 a proxy to estimate biogenic sedimentation [J]. Journal of
 Environmental Radioactivity, 2014, **134**: 21-26.
- [4] Yang W F, Chen M, Zhang X X, et al. Thorium isotopes (²²⁸Th, ²³⁰Th, ²³²Th) and applications in reconstructing the Yangtze and Yellow River floods [J]. International Journal of Sediment Research, 2013, 28(4): 588-595.
- [5] Zebracki M, Eyrolle-Boyer F, Evrard O, et al. Tracing the origin of suspended sediment in a large Mediterranean river by combining continuous river monitoring and measurement of artificial and natural radionuclides [J]. Science of the Total Environment, 2015, 502: 122-132.
- [6] 陈锦芳, 刘广山, 黄奕普. 厦门潮间带表层沉积物天然放射系不平衡研究[J]. 台湾海峡, 2005, **24**(3): 274-282.
- Aközcan S. Distribution of natural radionuclide concentrations in sediment samples in Didim and Izmir Bay (Aegean Sea-Turkey)
 J. Journal of Environmental Radioactivity, 2012, 112: 60-63.
- [8] 王永丽,于君宝,董洪芳,等.黄河三角洲滨海湿地的景观格局空间演变分析[J].地理科学,2012,32(6):717-724.
- [9] 翟万林,龙江平,乔吉果,等.长江口滨海湿地景观格局变化及其驱动力分析[J].海洋学研究,2010,28(3):17-22.
- [10] 徐宗军, 张绪良, 张朝晖, 等. 莱州湾南岸滨海湿地的生物 多样性特征分析[J]. 生态环境学报, 2010, **19**(2): 367-372
- [11] 刘志杰,李培英,张晓龙,等. 黄河三角洲滨海湿地表层沉积物重金属区域分布及生态风险评价[J]. 环境科学,2012,33(4):1182-1188.
- [12] 丁冬静, 李玫, 廖宝文, 等. 海南省滨海自然湿地生态系统服务功能价值评估[J]. 生态环境学报, 2015, 24(9): 1472-

- 1477
- [13] 叶思源, 丁喜桂, 袁红明, 等. 我国滨海湿地保护的地学问题与研究任务[J]. 海洋地质前沿, 2011, **27**(2): 1-7.
- [14] 吴珊珊, 张祖陆, 陈敏, 等. 莱州湾南岸滨海湿地变化及其原因分析[J]. 湿地科学, 2009, **7**(4); 373-378.
- [15] 张绪良,张朝晖,徐宗军,等.莱州湾南岸滨海湿地的景观 格局变化及累积环境效应[J].生态学杂志,2009,28(12): 2437-2443.
- [16] 姜爱霞,李道高. 莱州湾南岸滨海平原咸水入侵区浅层地下水水化学特征[J]. 海洋学报,1997,19(4):142-147.
- [17] 张绪良,于冬梅,丰爱平,等.莱州湾南岸滨海湿地的退化及其生态恢复和重建对策[J].海洋科学,2004,28(7):49-53
- [18] 张绪良,谷东起,夏东兴.莱州湾南岸湿地水文环境变化与可持续的水资源管理对策[J].湿地科学,2005,3(3):235-240
- [19] 汤爱坤,刘汝海,许廖奇,等. 昌邑海洋生态特别保护区土壤养分的空间异质性与植物群落的分布[J]. 水土保持通报,2011,31(3):88-93.
- [20] Nenadović S, Nenadović M, Kljajević L, et al. Vertical distribution of natural radionuclides in soil: assessment of external exposure of population in cultivated and undisturbed areas[J]. Science of the Total Environment, 2012, 429: 309-316
- [21] Krmar M, Varga E, Slivka J. Correlations of natural radionuclides in soil with those in sediment from the Danube and nearby irrigation channels [J]. Journal of Environmental Radioactivity, 2013, 117: 31-35.
- [22] 王启栋,宋金明,李学刚,等. 黄河口新生湿地沉积物放射性核素及其对沉积过程变化指示作用解析[J]. 地质论评,2014,60(3):635-645.
- [23] 康兴伦, 顾德隆, 张经, 等. 多种核素在沉积物中的垂直和平面分布[J]. 海洋与湖沼, 2002, 33(1): 47-54.
- [24] 刘广山, 李冬梅, 易勇, 等. 胶州湾沉积物的放射性核素含量分布与沉积速率[J]. 地球学报, 2008, **29**(6): 769-777.
- [25] 纪丽红,李超,刘广山.兴化湾西岸潮间带沉积物岩心放射性核素分布与沉积速率[J].海洋学研究,2009,27(3):1-7.
- [26] Papaefthymiou H, Papatheodorou G, Moustakli A, et al. Natural radionuclides and ¹³⁷Cs distributions and their relationship with sedimentological processes in Patras Harbour, Greece [J]. Journal of Environmental Radioactivity, 2007, 94(2): 55-74.
- [27] El Mamoney M H, Khater A E M. Environmental characterization and radio-ecological impacts of non-nuclear industries on the Red Sea coast[J]. Journal of Environmental Radioactivity, 2004, 73(2): 151-168.
- [28] Wang Z Y. Natural radiation environment in China [J]. International Congress Series, 2002, 1225; 39-46.

- [29] UNSCEAR. Sources and effects of ionizing radiation, report to the general assembly with scientific annexes [R]. New York: United Nations Scientific Committee on the Effects of Atomic Radiation, 2000.
- [30] El-Reefy H I, Badran H M, Sharshar T, et al. Factors affecting the distribution of natural and anthropogenic radionuclides in the coastal Burullus Lake [J]. Journal of Environmental Radioactivity, 2014, 134: 35-42.
- [31] Narayana Y, Rajashekara K M. The importance of physico-chemical parameters on the speciation of natural radionuclides in riverine ecosystems[J]. Journal of Environmental Radioactivity, 2010, 101(11): 958-964.
- [32] Beretka J, Matthew P J. Natural radioactivity of Australian building materials, industrial wastes and by-products[J]. Health Physics, 1985, 48(1): 87-95.
- [33] Forsberg S, Rosén K, Fernandez V, et al. Migration of ¹³⁷Cs and ⁹⁰Sr in undisturbed soil profiles under controlled and close-to-real conditions [J]. Journal of Environmental Radioactivity, 2000, 50 (3): 235-252.
- [34] Teramage M T, Onda Y, Patin J, et al. Vertical distribution of radiocesium in coniferous forest soil after the Fukushima nuclear power plant accident [J]. Journal of Environmental Radioactivity, 2014, 137: 37-45.
- [35] Gjelsvik R, Steinnes E. Geographical trends in 137 Cs fallout from the Chernobyl accident and leaching from natural surface soil in Norway[J]. Journal of Environmental Radioactivity, 2013, 126: 99-103.
- [36] Fujiyoshi R, Sawamura S. Mesoscale variability of vertical profiles of environmental radionuclides (⁴⁰K, ²²⁶Ra, ²¹⁰Pb and ¹³⁷Cs) in temperate forest soils in Germany [J]. Science of the Total Environment, 2004, **320**(2-3); 177-188.
- [37] Barnes C E, Cochran J K. Uranium geochemistry in estuarine sediments: controls on removal and release processes [J].

 Geochimica et Cosmochimica Acta, 1993, 57(3): 555-569.
- [38] Charette M A, Sholkovitz E R. Trace element cycling in a subterranean estuary: Part 2. Geochemistry of the pore water [J]. Geochimica et Cosmochimica Acta, 2006, 70 (4): 811-826.
- [39] 蔡平河,黄奕普,邱雨生. 九龙江河口区水体中²³⁸ U,²³⁴ Th 地球化学行为的研究[J]. 海洋学报,1996, **18**(5): 52-60.
- [40] Li Y H, Chan L H. Desorption of Ba and ²²⁶Ra from river-borne sediments in the Hudson estuary [J]. Earth and Planetary Science Letters, 1979, 43(3); 343-350.
- [41] 施文远, 邱晓晖, 黄奕普. 九龙江—厦门湾河口区溶解²²⁶Ra 的分布[J]. 海洋学报, 1993, **15**(4): 50-55.
- [42] 庞家珍,司书亨. 黄河河口演变—— I. 近代历史变迁[J]. 海洋与湖沼,1979, **10**(2): 136-141.
- [43] 廖永杰, 范德江, 刘明, 等. 1855 年黄河改道事件在渤海的 沉积记录[J]. 中国海洋大学学报, 2015, **45**(2): 88-100.

HUANJING KEXUE

Environmental Science (monthly)

Vol. 37 No. 8 Aug. 15, 2016

CONTENTS

Spatiotemporal Distribution and Source Attribution of SOA in China	CHEN Zhuo, LIU Jun-feng, TAO Wei, et al. (2815)
Emission Inventory of Heavy Metals in Fine Particles Emitted from Residential Coal Burning in China	
Diurnal Variation of PM _{2,5} Mass Concentration in Beijing and Influence of Meteorological Factors Based on Long Term Date ······	
Characteristics of Ozone Background Concentration in Beijing from 2004 to 2015	
Online Sources about Atmospheric Fine Particles During the 70th Anniversary of Victory Parade in Shijiazhuang	
Pollution Characteristics of Inorganic Water-soluble Ions in Atmospheric Particulate Matter in Chengdu Plain	
Observation Analysis on the Characteristics of Meteorological Elements and Pollutants During a Continuous Fog and Haze Episode in	
Observation straight on the Guardeerstee of Steelestonguest Heritagia and Foliations	
Characteristics and Source Apportionment of Metals in the Dustfall of Quanzhou City	
Level and the Courses of Heavy Metals and Its Risk Assessment in Indoor Dust of City: Take Guiyang as a Case	
Chemical Characteristics and Source of Acid Precipitation in Guilin	
Assessment of Gaseous Nitrogen (NH ₃ and N ₂ O) Mitigation After the Application of a Range of New Nitrogen Fertilizers in Summe	
Assessment of Gaseous Nitrogen (Art ₃ and A ₂ O) mingation After the Application of a realige of New Nitrogen Pertilizers in Summe	maize Cunivation EAN U.: HANG Shop shop WELVing et al. (2006)
Soil CO ₂ , CH ₄ and N ₂ O Fluxes from Alpine Meadows on the Plateau of Southern Qinghai Province During Snow Cover Period and G	
Partial Pressure of Carbon Dioxide and Methane from Autumn to Winter in Xiangxi Bay of the Three Gorges Reservoir	
Potential Impacts of Climate Change on Phosphorus and DO in Yuqiao Reservoir	
Land Use Structure Change and Its Control Effect of Nitrogen Output in a Small Watershed of Three Gorges Reservoir Area; A Case	Study of Lanlingxi Watershed
Response of Inflow Water Quality to Land Use Pattern in Northern Watershed of Lake Erhai	
Effect of Nutrient Cycles in Tributaries on the Transport of Nutrient in the Three Gorge Reservoirs; A Case Study of Caotang River	
Transient Storage Characteristics of Artificial Pool Geomorphic Structure in an Agricultural Headwater Stream	
Distribution Characteristics of Solute Nitrogen in the Water-Sediment of Farmland Drainage Ditch	
Characteristics and Influencing Factors of Soil Microbial Biomass Carbon and Nitrogen in Drawdown Area in the Three Gorges Reservations of Soil Microbial Biomass Carbon and Nitrogen in Drawdown Area in the Three Gorges Reservations of Soil Microbial Biomass Carbon and Nitrogen in Drawdown Area in the Three Gorges Reservations of Soil Microbial Biomass Carbon and Nitrogen in Drawdown Area in the Three Gorges Reservations of Soil Microbial Biomass Carbon and Nitrogen in Drawdown Area in the Three Gorges Reservations of Soil Microbial Biomass Carbon and Nitrogen in Drawdown Area in the Three Gorges Reservations of Soil Microbial Biomass Carbon and Nitrogen in Drawdown Area in the Three Gorges Reservations of Soil Microbial Biomass Carbon and Nitrogen in Drawdown Area in the Three Gorges Reservations of Soil Microbial Biomass Carbon and Nitrogen in Drawdown Area in the Three Gorges Reservations of Soil Microbial Biomass Carbon and Nitrogen in Drawdown Area in the Three Gorges Reservations of Soil Microbial Biomass Carbon and Nitrogen in Carbon and Nitrogen Indoord Area (Natural Area) and Nitrogen Indoord Area (Natural Area (Natural Area) and Nitrogen Indoord Area (Natural Area (Natura	voir
Response Behaviors of Heavy Metals at Tidal Currents Interface and Salinity Interface in the Estuary Area	
Simulation of Multimedia Transfer and Fate of Perfluorooctane Sulfonate (PFOS) in Shenzhen Region	
Distribution Characteristics and Ecological Risk Assessment of Organochlorine Pesticides in Surface Sediments of Zhelin Bay in Gua	ngdong Province, China ·····
	····· WEI Ya-ning, PAN Jia-chuan, SONG Yu-mei, et al. (3007)
Spatial Distribution Characteristics and Source Analysis of Dissolved Organic Matter in Beiyun River	CHEN Yong-juan, HU Wei-xuan, PANG Shu-jiang, et al. (3017)
Distribution and Environmental Significances of Radionuclides in the Sediment of the Changyi Coastal Wetland	······ WANG Qi-dong, SONG Jin-ming, LI Xue-gang, et al. (3026)
Fecal Contamination in Laolongdong Underground River as Measured by the Sterol Biomarkers	LIAO Yu, SUN Yu-chuan, WANG Zun-bo, et al. (3034)
Distribution Characteristics and Pollution Status of Phthalate Esters in the Groundwater of Hutuo River Pluvial Fan	
Impacts of Land Use on the Source of Dissolved Fatty Acids in Epikarst Spring During Rainy Season	
Mechanisms of Phosphorus Removal by Modified Zeolites Substrates Coated with Zn-LDHs in Laboratory-scale Vertical-flow Construction	eted Wetlands ·····
	··· ZHANG Xiang-ling, HUANG Hua-ling, GUO Lu, et al. (3058)
Synergistic Enhancement on Oxidation of Phenol by Fenton Processes by Adding Ce ^{3 +} and Cu ^{2 +} Ions	··· ZHANG Jian-giao, CHI Hui-zhong, SONG Yang, et al. (3067)
Removal of Humic Acid from Water Using Pt/biochar Electrode Reactor	
Generation of Graphene-titanium Dioxide Nanotubes Catalytic Board and Its Photocatalysis Capability to Degrade Pentachlorophenol	
Photocatalytic Degradation Kinetics and Mechanism of Monoazo Dye Acid Yellow 17 by UV/TiO ₂ in Aqueous Solution	
Feasibility of Sulfur-based Autotrophic Denitrification of Photovoltaic Wastewater Containing High Fluorine	
Operation Performance of a Bioaugmented Membrane-aerated Biofilm Reactor Treating Atrazine Wastewater	
Nitrogen Removal of Municipal Wastewater by ANAMMOX Coupled Shortcut Nitrification in Anaerobic Baffled Reactor	
Simultaneous Ferric Reduction with Ammonia Oxidation Phenomena in Activated Sludge in Anaerobic Environment	
Rapid Start-up of One-stage Autotrophic Nitrogen Removal Process in EGSB Reactor for Wastewater with Low Concentration of Amn	
Phosphorus Removal Performance in EBPR System under Extra-low Dissolved Oxygen Condition	
Influence of Activated Sludge Surface Properties on Flocculating Settling and Effluent Suspend Solid	
Spatial Characteristics and Environmental Risk of Heavy Metals in Typical Gold Mining Area of Shandong Province	
Spatial Variation of Soil Heavy Metals in an E-waste Dismantling Area and Their Distribution Characteristics	
Selenate Adsorption and Desorption in 18 Kinds of Chinese Soil with Their Physicochemical Properties	
Adsorption Characteristics of Arsenite on Goethite by Flow Stirring Method	
Preparation of Poly-hydroxy-aluminum Pillared Diatomite and Characteristics of Cu ²⁺ , Zn ²⁺ Adsorption on the Pillar in Aqueous S	olutions
Preparation and NH ₄ ⁺ -N Removal Performance of a Novel Filter Substrate Made from Sludges	
Preparation of Nanocomposite Hydrogel and Its Adsorption of Heavy Metal Ions	ZHU Qian, LI Zheng-kui, ZHANG Yi-pin, et al. (3192)
Prediction of PAHs Bioavailability in Spiked Soil by Composite Extraction with Hydroxypropyl- β -cyclodextrin and Rhamnolipid \cdots	ZHANG Ya-nan, YANG Xing-lun, BIAN Yong-rong, et al. (3201)
Biological Effects of ZnO Nanoparticles as Influenced by Arbuscular Mycorrhizal Inoculation and Phosphorus Fertilization	
Difference of Species Sensitivities for Aquatic Life Criteria in China and the USA	WANG Xiao-nan, YAN Zhen-guang, YU Ruo-zhen, et al. (3216)
Effects of Low-level Nutrition and Trace Antibiotics on the Fitness Cost of Plasmids Bearing Antibiotic Resistance	LIN Wen-fang, CHEN Sheng, WAN Kun, et al. (3224)
Effect of Different Nitrogen Rates on the Nitrification Potential and Abundance of Ammonia-oxidizer in Intercropping Maize Soils	LÜ Yu, ZHOU Long, LONG Guang-qiang, et al. (3229)

《环境科学》第6届编辑委员会

主 编:赵进才

副主编:赵景柱 郝吉明 田 刚

编 委: (按姓氏笔画排序)

万国江 王华聪 王凯军 王绪绪 田 刚 田 静 史培军

朱永官 刘志培 刘 毅 汤鸿霄 孟 伟 周宗灿 林金明

赵进才 赵景柱 姜 林 郝郑平 郝吉明 聂永丰 黄 霞

黄耀鲍强潘纲潘涛魏复盛

环维种草

(HUANJING KEXUE)

(月刊 1976年8月创刊)

2016年8月15日 第37卷 第8期

ENVIRONMENTAL SCIENCE

(Monthly Started in 1976)

Vol. 37 No. 8 Aug. 15, 2016

		1 - 74 - 11 - 11 - 12 - 11 - 774			
主	管	中国科学院	Superintended	by	Chinese Academy of Sciences
主	办	中国科学院生态环境研究中心	Sponsored	by	Research Center for Eco-Environmental Sciences, Chinese
协	办	(以参加先后为序)			Academy of Sciences
		北京市环境保护科学研究院	Co-Sponsored	by	Beijing Municipal Research Institute of Environmental
		清华大学环境学院			Protection
主	编	赵进才			School of Environment, Tsinghua University
编	辑	《环境科学》编辑委员会	Editor-in -Chief	•	ZHAO Jin-cai
>m	7-4	北京市 2871 信箱(海淀区双清路	Edited	by	The Editorial Board of Environmental Science (HUANJING
		18号,邮政编码:100085)			KEXUE)
		电话:010-62941102,010-62849343			P. O. Box 2871, Beijing 100085, China
		传真:010-62849343			Tel:010-62941102,010-62849343; Fax:010-62849343
		E-mail:hjkx@ rcees. ac. cn			E-mail; hjkx@ rcees. ac. cn
		http://www.hjkx.ac.cn			http://www.hjkx.ac.cn
出	版	4 学业版社	Published	by	Science Press
-	742	北京东黄城根北街 16 号			16 Donghuangchenggen North Street,
		邮政编码:100717			Beijing 100717, China
印刷装	ŧ订	北京北林印刷厂	Printed	by	Beijing Bei Lin Printing House
发	行	斜华出版社	Distributed	by	Science Press
		电话:010-64017032			Tel:010-64017032
		E-mail:journal@mail.sciencep.com			E-mail; journal@ mail. sciencep. com
订 购	处	全国各地邮电局	Domestic		All Local Post Offices in China
国外总统	发行	中国国际图书贸易集团有限公司	Foreign		China International Book Trading Corporation (Guoji
		(北京 399 信箱)			Shudian), P. O. Box 399, Beijing 100044, China

中国标准刊号: ISSN 0250-3301 CN 11-1895/X

国内邮发代号: 2-821

国内定价:120.00元

国外发行代号: M 205

国内外公开发行